## 牟平—乳山金矿带成矿物理化学 环境及金的富集机制

#### 祝 新友

(中国有色总公司北京矿产地质研究所)

本文从实际地质情况出发, 应用热力学手段, 探讨了山东牟平一 乳山金矿带的成矿物理化学条件 (成矿温度、热液盐度、 硫和氢的逸 度及pH 值等), 指出不同成矿阶段金的富集机制不同, 其容矿构造亦 不相同, 提出了不同矿段的成矿预测构造标志。

关键词: 金矿带;成矿环境;热力学;地球化学

## 地质概况

牟平-乳山金矿带 (以下简称牟乳金矿 带)地处华北地台东缘,栖霞复背斜与昆嵛 山隆起的交接部位。区域地层主要是晚太古 界一早元古界的胶东群深变质岩,岩性有斜 长片麻岩、斜长角闪岩、透闪透辉岩、变粒 岩、片岩、大理岩和长石石英岩等。原岩为 中基性一中酸性火山岩、火山碎屑岩夹泥砂 岩、碳酸盐岩建造[1]。花岗岩以昆嵛山岩 体和三佛山岩体为代表,前者为中粗粒,与 变质岩呈渐变接触, 属混合岩化成因, 形成 于中生代或先期;后者为似斑状花岗岩,具 侵入特征,形成于燕山期[2、3]。金矿主要产 于昆嵛山混合花岗岩中。构造以北北东向、 北东向断裂为主,前者为控矿断裂,包括将 军石、金牛山和唐家沟断裂等,构成牟乳金 矿成矿带; 北东向断裂不含石英脉, 也无金 富集。

金矿大多产于变质岩和混合花岗岩接触 带混合花岗岩一侧的北北东向断裂中。矿体 为含金硫化物石英脉。邓格庄、金青顶是本 区有代表性的两个矿床(图1)。前者产于金 牛山断裂的次级断裂中,矿体平直,厚度稳

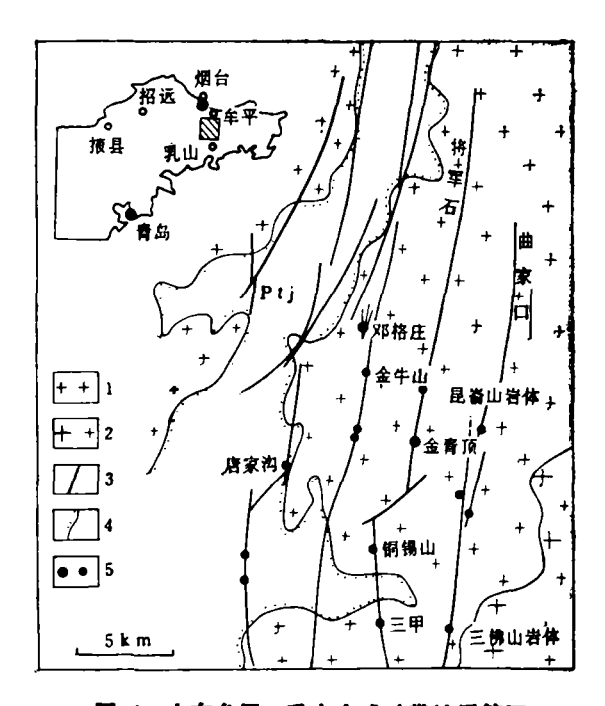


图 1 山东牟平一乳山金成矿带地质简图 Ptj-胶东群变质岩, 1-中粗粒 混 合 花 岗 岩, 2一似斑状花岗岩,3一断层,4-交代侵人接触 界线,5-矿床及矿点

定,产状近于直立,矿脉呈"入"字型或 "多"字型排列;后者产于将军 石 主 断 裂 中,矿体呈 S 型,厚度变化大,东倾,近 于直立, 矿体赋存于断裂构造转弯部位的引

50

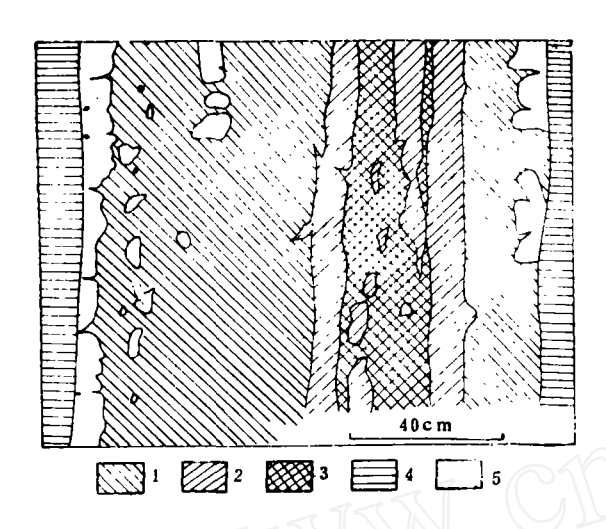


图 2 金青顶金矿不同阶段矿石分布特征

1一第Ⅱ阶段; 2一第Ⅲ阶段; 3一第Ⅳ阶段; 4一 绢英岩,5-第I阶段乳白色石英

张空间。

主要金属矿物有黄铁矿、黄铜矿、磁黄 铁矿、闪锌矿、方铅矿、毒砂、磁铁矿、镜 铁矿、辉钼矿及银金矿等; 脉石矿 物 有 石 英、绢云母、菱铁矿、方解石等。产于变质 岩中的唐家沟金矿还见长石。热液成矿分5 个阶段:(I)石英—黄铁矿阶段,形成乳 白色石英脉; (1)黄铁矿-磁黄铁矿-毒 砂-黄铜矿-石英阶段,形成块状含金硫化 物矿石;(Ⅱ)磁铁矿-黄铜矿-菱铁矿阶 段;(Ⅳ)闪锌矿一方铅矿一黄铜矿一镜铁 矿(或黄铁矿)—石英阶段(邓格庄为黄铁 矿,金青顶为镜铁矿);(Ⅴ)方解石一石 英阶段。第Ⅰ、第Ⅳ阶段为主成矿阶段(图 2)。早阶段矿石在矿带北部较发育,晚阶 段矿石在矿带南部较发育。如邓格庄金矿以 块状磁黄铁矿黄铁矿矿石为主、铅锌矿石仅 零星分布, 而金青顶金矿大量出现多金属矿 石。各成矿阶段矿石在矿体中发育较完好的 分带。

绢云母化、硅化和红长石化(前人称之 为钾长石化) 是主要的围岩蚀变, 绢云母化 和硅化位于内带,红长石化位于外带。质量 平衡计算表明,蚀变过程中 K、Na 等 的 变 化主要是绢云母化的结果。红长石化蚀变岩 中黑云母分解成绿泥石,长石发生弱绢云母 化,由无色变为浅肉红色,但 K、Na 含 量 和K/Na比值与原岩无明显差异。

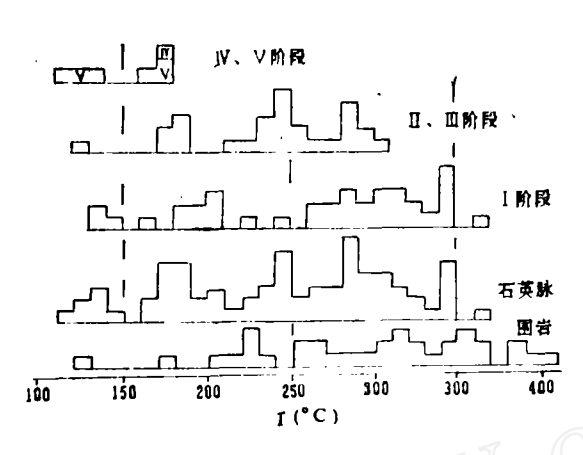
## 矿物中流体包裹体研究

#### 1. 一般特征

样品取自邓格庄和金青顶金矿。主矿物 为石英、方解石和闪锌矿。流体包裹体一般 <10<sup>µ</sup>。根据相态分为: ①气、液两相 包裹 体,气、液比3~5%,占包裹体总数的80% 以上,加热时均一为液相;②含液态CO2的 三相包裹体,见于早阶段石英及绢英岩的硅 化石英中; ③纯CO2气相包 裹 体, 黑 色, 气、液比>80%,均一为气相,仅见于花岗 岩及蚀变岩的长石、石英中; ④纯液相包裹 体,见于晚阶段及成矿期后的石英、方解石 中。总的趋势是:从早到晚包裹体体积增 大,气、液比下降。

#### 2. 成矿温度

在Linkim TH-600冷热台上测定35片 包裹体片(取自邓格庄金矿),获得105个均 一温度值, 测定误差 ±1°C, 并绘制出直方 频率图(图3)。由图可见,早阶段形成的石 英受到晚阶段热液的强烈影响,第Ⅰ、Ⅰ阶 段矿石紧密伴生, 其均一温度出现两个峰 值。蚀变围岩的均一温度范围较宽, 出现少 量高值,说明蚀变作用在矿石沉淀前就开始 了。根据几个明显的峰值,考虑到晚阶段热 液的影响,可将温度划分为5个区间:320 ~370°C; 270~310°C; 210~270°C; 160~ 200℃; 110~180℃。其众值分别为345℃, 285℃, 245℃, 179℃ (一个样) 和150℃, 代表第Ⅰ至第Ⅴ阶段的平均均一温度。由于 成矿压力值不高(3), 基本上可代表 各阶段 的成矿温度。为讨论方便,Ⅰ~Ⅴ阶段成矿 温度分别取350℃、300℃、250℃、200℃、 和150℃。



邓格庄全矿流体包裹体 温度盲方图

## 3. 盐度和成分

根据冷冻法测定的第一、【成矿阶段包 **裹体盐度分 别 为 3.8wt%NaCl 和 3.4wt%** NaCl, 晚阶段变低。假设体系中阳离子以 K<sup>+</sup>、Na<sup>+</sup>、Ca<sup>2+</sup>、Mg<sup>2+</sup>、为主,可通过盐 度值和不同离子间摩尔数之比值,获得金青 顶矿区各阶段不同离子的磨尔浓度 (表1)。

## 成矿热液物理化学参数

### 1. 萬子强度(I)

根据包裹体盐度,取NaCl-H2O体 系,得到热液第 I、 I 阶段离子强度分别为 0.65和0.58, 由此计算出的活度系数和逸度 系数均与I=1时相近,因此在以下的讨论 中所用热力学参数均取I=1.0时的值。

#### 2. $f_{\infty}$ ,

成矿热液以富含CO2为特征。据包裹体 成分,由亨利定律可计算 出 体 系 的  $f_{co}$ ,=  $K_{\text{H}}$ · $X_{\text{CO}}$ 。其中 $K_{\text{H}}$ 为亨利定律常数; $X_{\text{LO}}$ ,为 包裹体中CO2的摩尔分数;逸度单位为大气 压。由此计算出金青顶Ⅰ、Ⅰ、Ⅰ、Ⅳ成矿 阶段的logfco,值分别为1.74、2.22、1.90和 2.20, 其中第Ⅰ、Ⅴ两个主成矿阶段的值明 显高,表明fco,值高的系统有利于金富集成 矿。

\$
低坐
黃
<u> </u>
岩
釜
不同成中學段石英的流体包裹体成
藍
至
便便
不同
的事例的句
事業
4

成矿學段 (wt% NaCl)		液相成分 (mol/L)	mol/L)		_	<del>11</del>		白	K+计算	1	气相成	气相成分(X)	
	Ж•	Na+	Ca2*	Mg2+	κ	K* : Na* : Ca** : Mg'*	: Ca²+	: Mg¹⁺	浓度 (mol/L)	co,	oo	СН,	н,о
3.8	0.0836	0.0561	0.0567	0.0169	-	0.691	869*0 :	0.698 : 0.209	0.250	0.0170	0.0186	1	0.964
3.4 0	0.7033	0.5785	0.1018	0.0918		0.827	: 0.145	0.145 : 0.130	0.276	0.0356	0.0611	ı	0.903
3.0	0.0296	0.2258	9990*0	0.0440		7.581	: 2.240	2.240 : 1.479	0.042	6,4133	0.0761	1	0.910
IV 2.0 0.	0.6008	0.3819	0,0259	0.1412	-	0.636	: 0.043	0.043 : 0.237	0.178	0.0227	0.2690	0.0057	0.698

南京大学地球科学系测试(1988),(X表示摩尔分数)

#### 3. pH值

本区金矿床围岩蚀变以绢英岩 化较普遍,矿体及近矿围岩主要脉石矿物均为石英和绢云母。除产于变质岩中的唐家沟金矿外,产于花岗岩中的矿体,其中的长石全部被分解,少量高岭石形成于成矿期后。由 3K-f(钾长石)+ $2H^+ \rightarrow 2MS + 6SiO_2 + 2K^+$ 和  $2MS + 2H_2O + 2H^+ \rightarrow 2K$ aol(高岭石)+ $2K^+$ 式求出的  $\mathbb{I}$ 、  $\mathbb{I}$ 、  $\mathbb{V}$   $\mathbb{V}$ 

#### 4. fo,和fs,值

第 I 成矿阶段有大量磁黄铁矿与黄铁矿 共生。根据磁黄铁矿的成分可以获得体系的  $f_{s_2}$ 值:  $\log f_{s_2} = (70.03-85.83X)$  (1000/ T-1)+39.30(1-0.9981X)<sup>1/2</sup>-11.9。 其 中X为磁黄铁矿中FeS的摩尔分数,邓格庄 和金青顶金矿第 I 成 矿 阶 段 的 黄 铁 矿 中  $X_{\text{FeS}}$ 分别为0.9422和0.9525 (电子 探 针 分 析); T为成矿温度 (K氏)。

金青顶金矿第**I**阶段矿物组合为菱铁矿+黄铜矿;邓格庄金矿为菱铁矿+黄铜矿+ 磁铁矿+黄铁矿,因此有  $Ma+3S_2=3Py+2O_2$ , $Ma+3CO_2=3Sid+1/2O_2$ (符号含义见图4),可以得到体系 $f_{O_2}$ 、 $f_{S_2}$ 值。

利用 Helgeson (1969、1978)、Crerar and Barnes (1976) 等测定的有关 热 力学 常数,可以做出各温度条件下 $\log f_{s_2}$ — $\log f_{o_2}$ 相图解,图 4 是第  $\mathbb{I}$  阶段的情形,阴影区即热液体系条件,由此获得各阶段体系  $\log f_{s_2}$ 和 $\log f_{o_2}$ 值(表 2)。

金青顶金矿较邓格庄金矿形成于相对贫硫的环境,两矿区第Ⅰ阶段的黄铁 矿 S/Fe (原子比值)分别为1.970和1.997。第Ⅰ阶段,磁黄铁矿广泛交代黄铁矿,矿带北部的矿床多形成块状磁黄铁矿矿石;第Ⅰ阶段出

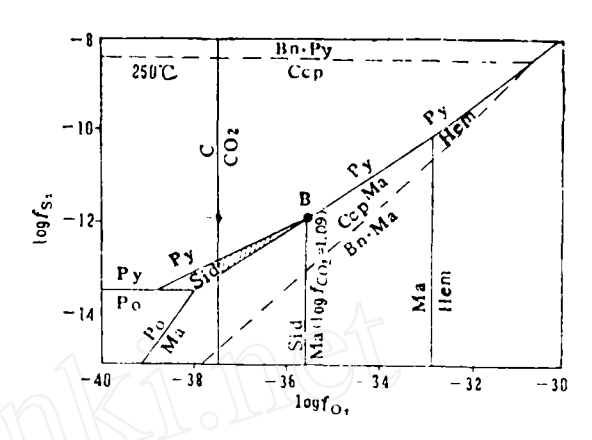


图 4 第亚成矿阶段 Fe—Cu—O—S—C 体系logfo,—logf<sub>S2</sub>相图

Bn-斑铜矿, Ccp-黄铜 矿, Hem-镜铁 矿, Ga-方铅矿, Ma-磁铁 矿, Q-石 英, Po-磁 黄铁矿, Py-黄铁 矿, Sid-菱铁 矿, Sph-闪 锌矿, logf<sub>CO2</sub>=1.90, B点为邓格庄金矿的 成矿 条件, 阴影区代表金青顶金矿的成矿环境

现菱铁矿和磁铁矿,表明成矿体系向贫硫方向演化。它可能是因硫化物沉淀时消耗大量的硫,同时体系内又没有足够的外界硫补充的结果。第IV阶段矿石在邓格庄 出 现 黄 铁矿,而在金青顶及矿带南部代之以镜铁矿,反映金青顶比邓格庄富氧。

#### 5. 热液体系总溶解硫浓度 (Mrs)

在热液系统中,存在 $2H_2S_{(aq)}+O_2=S_2+2H_2O$ ,由此得 $M_{\Sigma S}=(f_{S_2}/K\cdot f_{O_2})^{1/2}\cdot\alpha_{H_2O}/X_{H_2S}\cdot\gamma_{H_2S}$ ,其中K、 $\alpha_{H_2O}$ 、 $\gamma_{H_2S}$ 分别为平衡常数、 $H_2O$ 的活度和 $H_2S$ 的活度系数; $X_{H_2S}=M_{H_2S}/M_{\Sigma S}$ —体系中溶解态H<sub>2</sub>S占总溶解态硫的摩尔分数,与 $f_{S_2}$ 、 $f_{O_2}$ 和pH值有关。计算结果  $\mathbb{I}$ 、 $\mathbb{I}$  、 $\mathbb{I}$  阶段的 $M_{\Sigma S}$ 分别为0.003、0.001和0.001mol/L,晚期值有所下降。

#### 6. logfo<sub>2</sub>—pH图

图 5 给 出 了 第 I (A)、I (B)、I (C) 成矿阶段的  $log f_{o_2} \sim pH$  相 图,平 衡 常数同图 4,取 I=1。为便于 讨 论,绘 制了250 $\mathbb{C}$ 和200 $\mathbb{C}$ 时 Au 的溶解度曲线, 阴影区为矿石的沉淀条件。

成矿	矿物组合	矿床	logfo <sub>2</sub>				logf <sub>S2</sub>			
阶段			范	围	平	均	范	<u> </u>	平	均
I	Q+Py		-31.39~				-9.58~			
П	Py + Po + Ccp + Q	邓格庄 金青顶	-33.80~-	33.20	-3:	3.5			1	10.39
ш	Sid + Ccp + Q + Ma + Py Sid + Cpc + Q	邓格庄 金青顶	-37.55~-	35.50		35.50 36.53	-13.20	~-11.80	-	11.80
IV	Ccp + Sph + Ga + Hem		-37.90~-	35.20	-	36.55	-12.70-	-10.70	-1	11.69
			<del></del>	1	57	4	7) (( 17			

尽管各成矿阶段的logfo,值变化较小, 但体系中高、低价态硫浓度之比值R= arso 3-/arH,s从早到晚阶段其值迅速增大, I、I、I\N阶段的log R均值分别为 -6.85、 -0.14和0.99。

体系的氧化还原电位 Eh=Eh。+C·ln  $(a_{\pi k*}/a_{\pi \pi*})$ ,能准确地反映氧化 还 原 条 件, 因而 R 值能更直接地体现体系的 氧化程 **度。金矿热液体系的迅速氧化,导致第Ⅰ阶** 段晚期出现磁黄铁矿,第Ⅰ阶段出现菱铁矿 和磁铁矿,第Ⅵ阶段出现镜铁矿。

## 金的搬运与沉淀机制

热液体系中金的主要迁移方式是Au-S 和Au-Cl 络合物 (Barnes, 1979)。本文用 Seward (1973) 和Helgeson(1968)有关 金 络合的稳定常数,计算出牟乳金矿带成矿物 理化学条件下, Au(HS); 是Au在搬运至少 是在进入沉淀区的主要迁移方式(图5)。

#### 1. pH值对Au迁移的影响

pH值计算结果说明, 热液体系 总 体为 品酸性,成矿晚期pH值增高,引起Au(HS); 溶解度微增(图5)。第Ⅰ成矿阶段pH值较 高,形成大量菱铁矿,但无金富集;唐家沟 金矿有长石形成,反映pH值高,金矿化不 好;产于大理岩残留体中的金牛山金矿,质 量和规模都较差,这些都说明高pH值环境 对金的富集成矿不利。

从本区金矿与绢云母化的密切关系看, 强烈的绢云母化有利于金的富集成矿。在第 Ⅰ、Ⅰ阶段成矿条件下,热液中硫的主要存 在方式 是 H<sub>2</sub>S<sup>[5]</sup>, 形 成 黄 铁 矿 (Fe<sup>2+</sup>+ 2H<sub>2</sub>S=FeS<sub>2</sub>+H<sub>2</sub>+2H<sup>‡</sup>), 第 I 阶段 大 量 黄铁矿和磁黄铁矿沉淀需要围岩消耗足够量 的H<sup>+</sup>,这也说明强烈的绢云母化有 利 于 本 区金的成矿。花岗岩较变质岩的绢云母化要 广泛得多, 是相对有利的储矿围岩, 这可能 就是本区大多数金矿都产于花岗 岩 中 的 原 因。

## 2. 氧化还原条件对金沉淀的影响

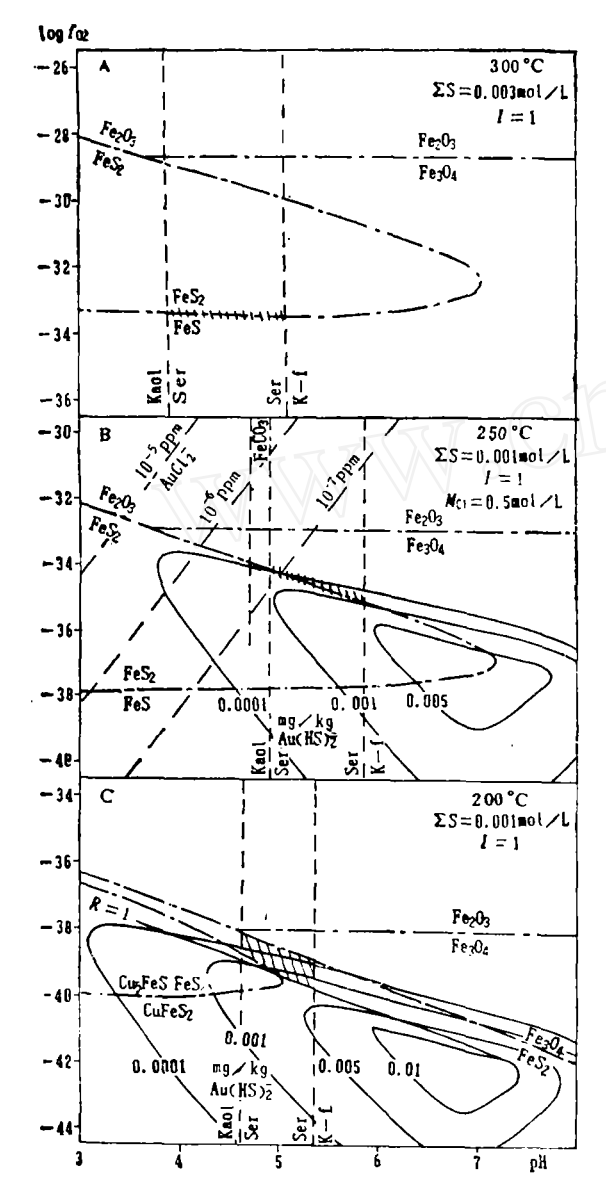
图 6 为200℃时Au(HS);溶解度(M) 与 R 值的关系图, 反映热液体系的氧化程度, 其它温度的情形与图 6 相似。在第Ⅳ成矿阶 段条件下,  $log R = 0 \sim 1.97$ , 此时 log R的变 化对Au(HS)。溶解度影响显著,R值的升 高,即体系的氧化将引起 Au(HS) 的大量 分解,这就是第Ⅳ成矿阶段(多金属硫化物 阶段) 金的富集机制。即

$$4Au(HS)_{3}^{-} + 2H_{2}O + 15O_{2} = 4Au^{0}$$
  
  $+ 12H^{+} + 8SO_{4}^{3}$ 

本阶段矿石多赋存于断裂构造的引张空 间,如S形断裂的转弯和膨大部位,矿石广 泛发育梳状构造,分带明显,银金矿与镜铁 矿共生。这些现象在牟乳金矿带东南部较为 突出,形成很多以多 金 属 为 主 的 金 矿 床 (点),如金青顶、三甲、铜锡山等金矿。

#### 3. 大量硫化物沉淀对金富集的影响

54



Fe—Cu—O—S体系 logfo,—pH 相图解

A-第Ⅰ阶段, B-第Ⅱ阶段, C-第Ⅲ阶段, 点 划线—Fe—Cu—O—S体系,实线—Au(HS)。 溶解度曲线;长虚线-AuCl、溶解度;短虚线pH值范围, 阴影区一矿石 沉 淀 环境, Kaol-高 岭石, Ser--绸云母, K-f--钾长石

第Ⅰ成矿阶段是矿带北部的 主 成 矿 阶 段,形成块状磁黄铁矿黄铁矿 矿石, $\log R =$  $-8\sim-5.7$ ,从图5和图6上看,体系R值的

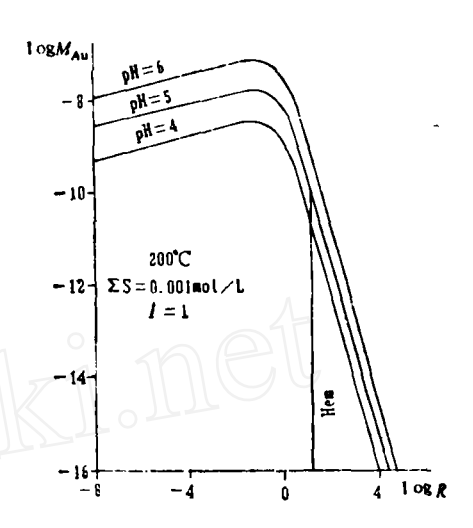


图 6 Au (HS)-溶解度--logR关系图 (溶解度单位mol/L, Hem-镜铁矿)

变化对Au(HS);溶解度的影响 较 小。第 I 阶段矿物组合的显著变化是磁黄铁矿广泛交 代黄铁矿, 反映环境贫硫, 并向更贫硫方向 演化。黄铁矿单矿物成分分 析 发 现,邓格 庄、金青顶、玲珑、罗峰及三山岛等金矿床 中黄铁矿S/Fe比值在第 I、I阶段均相对 较低[10], 考虑到第Ⅰ阶段有大量硫化物形 成,并出现毒砂,且附近有银金矿,因此本 阶段金沉淀富集的机制是体系中硫化物沉淀 消耗大量的硫时,体系没有足够的外界硫补 充,引起 $M_{28}$ 特别是低价态硫浓度 $M_{2H_28}$ 下 降,导致Au(HS);分解:

$$Au(HS)_{3}^{-} + 1/2 FeCl_{2} = Au^{0} + 1/2 FeS_{2} + Cl^{-} + H_{2}S$$

在地质环境上要求体系具相对封闭的状 态,如次级断裂体系,呈"多"字形、"人" 字形排列的断裂系统,以及断裂的 交汇部 (如玲珑52#脉) [9]等。矿石多为块状黄铁 矿矿石, 在矿带北部, 广泛发育磁黄铁矿, 以邓格庄金矿为代表。

#### 结 论

1. 牟乳金矿带成矿物理化学条件: 温

度345~150℃,热液盐度低 $\leq$ 3.8wt%NaCl; log $f_0$ ,=-33.5~-36.55,log $f_{52}$ =-10.39~-12.5; 具弱酸性。成矿热液由早阶段到晚阶段温度、盐度降低,并迅速氧化。

- 2. 花岗岩是本区金矿较有利的储矿围岩,找矿的前景区是花岗岩,特别是在与变质岩接触带的花岗岩一侧的北北东向断裂中。
- 3. 不同成矿阶段金的沉淀 富 集 机 制不同。第 I 阶段金的沉淀机制是大量硫化物沉淀消耗体系中的硫,导致 Au(HS);分解;第 IV 成 矿 阶段是溶液中低价态硫的大量氧化 引起Au(HS);的分解。
- 4. 牟乳金矿带北部有利的 成 矿 构 造空间是相对封闭的断裂系统,如次级断裂、呈"多"字、"人"字形排列的断裂系统及断裂交汇处等: 矿带南部是相对开放的构造空间,如主断裂、断裂转弯处、"S"形断

#### 裂等断裂膨大部位。

成文过程中承蒙赵仑山教授指教,王之田、马力教授和佘大良高级工程师等审阅了 全文,提出了修改意见, 谨此致谢。

#### 主要参考文献

- [1]安家桐等、《中国金矿主要类型成矿条件文集。 胶东地区》,地质出版社,1988年。
  - 「2] 文子中,贵金属地质,1988, 第3—4期。
  - [3]田农,矿床地质,1989, vol. 8, No.2.
- [ 4 ] Helgeson H. C., Am. Jour. Sci., 1969, vol. 267, p. 729-804.
- [ 5 ] He'geson H. C. at al., Am. Jour. Sci., 1978, vol. 278A, p. 1—229.
- [6] Helgeson H. C. and Garrells, R. M., Eco. Geo., 1968. vol. 63, p. 622-635.
- [ 7 ] Ohmoto, H., Eco. Geo., 1972, vol. 67, p. 551-578.
- [8] Seward T. M., Geoch. Cosmoch. Acta, 1973, vol. 37, p. 379-399.
- [9] 孙景远, 地质地球化学, 1985, Ne1, p. 71—73.
- [10] 陈光远等,《胶东金矿成因矿物学与找矿》,重庆出版社,1989年。

# Ore-forming Physicochemical Environment and Enrichment Mechanism of the Muping-Rushan Gold Ore Belt

Zhu Xinyou

Based upon the practical physicochemical setting and the viewpoint of thermodynamics, a disscusion on the metallogenic environmen (including ore-forming temperature, salinty of the hydrothermal solution, sulfur and oxygen fugacity, pH value, etc.) of the Mouping-Rushan gold ore belt is given in this paper. It is shown that the enrichment mechanism as well as the host structure of the gold ores are different in different metallogenic epoch. Some structure indicators for orehunting in different section of the gold ore belt are proposed.